

Quantitative structure-activity relationship study of some angiotensin-converting enzyme inhibitor drugs in the treatment of hypertension based on Monte Carlo optimization method

Shahram Lotfi ^{1*} , Shahin Ahmadi ² , Ali Azimi ³ 

¹ Dept of Chemistry, Payame Noor University (PNU), Tehran, Iran

² Dept of Pharmaceutical Chemistry, Faculty of Pharmaceutical Chemistry, Tehran Medical Sciences, Islamic Azad University, Tehran, Iran

³ Dept of Chemistry, Science and Research Branch, Islamic Azad University, Tehran, Iran

Article Info

A B S T R A C T

Article type:

Research article

Article History:

Received: Dec. 28, 2024

Received in revised form:

Feb. 02, 2025

Accepted: Mar. 10, 2025

Published Online: May. 26, 2025

*** Correspondence to:**

Shahram Lotfi

Dept of Chemistry, Payame Noor University (PNU), Tehran, Iran

Email:

Sh.lotfi@pnu.ac.ir

Introduction: Hypertension is a severe cardiovascular disease affecting human health, and its control and prevention are crucial for global health. Angiotensin-converting-enzyme inhibitors are primarily used in treating this condition. The aim of this work was to develop quantitative structure-activity relationship (QSAR) models to predict the activity of some chemical compounds as angiotensin I-converting enzyme inhibitors using CORAL software.

Materials & Methods: In this study, quantitative structure-activity relationship to predict the inhibitory activity of the data set containing 255 angiotensin-converting enzyme inhibitor compounds based on the algorithm Monte Carlo was studied. The input file of CORAL software contains the structures of compounds with SMILES symbols along with their inhibitory activity, which were randomly divided into four sets, including active training, passive training, calibration and validation sets. The whole data set is randomly divided into three splits, and an individual model was created for each division.

Results: A hybrid optimal descriptor computed from SMILES and molecular hydrogen-suppressed graphs is employed to construct QSAR models. Four target functions, i.e., TF_0 ($WIIC = WCII = 0$), TF_1 ($WIIC = 0.3$ and $WCII = 0$), TF_2 ($WIIC = 0$ and $WCII = 0.3$), and TF_3 ($WIIC = WCII = 0.3$), are employed to build 12 QSAR models.

Conclusion: The study analyzed experimental data on chemical compounds as inhibitors of angiotensin I-converting enzyme. The QSAR model of split 2 calculated by TF_3 was found to be the best model, and it identified structural attributes responsible for the increase and decrease of inhibitory activity.

Keywords: QSAR models, Angiotensin-converting enzyme inhibitors, Hypertension disease, CORAL software

How to cite this paper: Lotfi Sh, Ahmadi Sh, Azimi A. Quantitative structure-activity relationship study of some angiotensin-converting enzyme inhibitor drugs in the treatment of hypertension based on Monte Carlo optimization method. *Journal of Ilam University of Medical Sciences*. 2025;33(2):26-44.

Introduction

The complications like hypertension, dysrhythmia, heart failure (HF), myocardial infarction, etc. are pivotal factors linked to cardiovascular diseases (CVD), accounting for a substantial portion (32 %) of total mortality in both developed and developing nations (1). High blood pressure, or hypertension, is a condition of sustained increase in blood pressure levels and is the primary risk factor for CVD (2). The renine-angiotensin system is a hormone system that regulates blood pressure

and fluid balance through Angiotensin-Converting-Enzyme-I (ACE-I) inhibition, and plays an important role in the pathophysiology of CVDs such as congestive heart failure and hypertension (2). Angiotensin-converting enzyme inhibitors are a group of drugs used in the treatment of cardiac pathologies like hypertension, congestive heart failure, left ventricular dysfunction and myocardial infarction (3). ACE inhibitors act as potent vasodilators by blocking the conversion of angiotensin I to angiotensin II, thereby lowering blood pressure by generating prolonged

© The Author(s)

Publisher: Ilam University of Medical Sciences



Journal of Ilam University of Medical Sciences, Volume 33, Issue 2, 2025

hypotensive responses (2). Currently, numerous drugs as ACE inhibitors have been synthesized to treat hypertension disease (2). However, experimental methods for drug discovery are expensive and time-consuming (4). In order to save time, reduce costs, and eliminate the need for extensive equipment, the development of in silico methods (e.g., Quantitative Structure-Activity Relationship (QSAR)) to predict the activity/property of drugs prior to the clinical stage would be beneficial (4-5). QSAR, are advanced computational techniques that relate chemical structure to specific properties or biological activity using mathematical models based on molecular descriptors (5). Complications such as hypertension, arrhythmia, HF, and myocardial infarction are critical factors associated with CVDs, contributing to approximately 32% of total mortality in both developed and developing countries (1-4). Hypertension, defined as a sustained elevation in blood pressure, is considered the primary risk factor for CVD (2-5). The renin-angiotensin system plays a key role in regulating blood pressure and fluid balance through the inhibition of ACE-I, and it is closely linked to the pathophysiology of disorders such as hypertension and congestive heart failure (2). ACE inhibitors are a class of pharmaceutical agents widely used in the treatment of various cardiac conditions, including hypertension, congestive heart failure, left ventricular dysfunction, and myocardial infarction (5). These drugs act as potent vasodilators by inhibiting the conversion of angiotensin I to angiotensin II, thereby reducing blood pressure through sustained hypotensive effects (5). Although numerous ACE-I drugs have been synthesized for hypertension management, traditional drug discovery methods remain time-consuming and costly (3,4). The aim of this work was to develop quantitative structure-activity relationship (QSAR) models to predict the activity of some chemical compounds as angiotensin I-converting enzyme inhibitors using CORAL software.

Methods

The SMILES notation of 255 agents, along with numerical data on their ACE-I inhibitory activity, was acquired from a study published by Shah et al. The inhibition potential of compounds was defined as half-maximal inhibitory concentration in nM (IC₅₀). The

numerical values of activity were converted to a $-\log IC_{50}$ (pIC_{50}). The pIC_{50} was taken as the dependent parameter for constructing QSAR models with the CORAL software. Three splits were made from the dataset and each split was further randomly divided into four sets, i.e., active training, passive training, calibration, and validation sets. A dataset of 255 compounds, including their SMILES representations and ACE-I inhibitory activities (IC₅₀ values in nM), was obtained from a study by Shah et al. The activity data were transformed into a negative logarithmic scale ($pIC_{50} = -\log IC_{50}$) and used as the dependent variable in QSAR model construction via CORAL software. The dataset was divided into three distinct splits, with each split further partitioned into four subsets: active training, passive training, calibration, and validation sets. The hybrid descriptor DCW (T^*, N^*) was used for model development, combining features derived from SMILES and molecular graphs. Monte Carlo optimization was employed to determine the correlation weights (CW) for the descriptors. Four target functions (TF_0 , TF_1 , TF_2 , and TF_3) were evaluated, and the statistical performance of models based on each function was compared.

Results

The optimal descriptors from the hybrid model resulting from the combination of SMILES descriptors and hydrogen-free molecular graph were used to build QSAR models. Four objective functions, namely TF_0 ($WIIC=WCII=0$), TF_1 ($WIIC=0.3$), TF_2 ($WIIC=0$, $WCII=0.3$) and TF_3 ($WIIC=WCII=0.3$) were used to build 12 QSAR models. The statistical results of each objective function were compared with each other.

Conclusion

The study evaluated predictive quality of models using the TF_3 target function, with the best performance observed in models developed using this function. Various statistical metrics were used to ensure robustness, including coefficient of determination, IIC, CII, CCC, and cross-validated coefficient. Evaluation criteria like root mean square error, mean absolute error, F-statistic, mean predictive squared correlation coefficient, delta, and Y-randomization tests were also used. The applicability domain of each model was examined using the statistical defect value, denoted as $d(A)$, to define reliable predictions.

Structural features from SMILES notation and molecular graph invariants were also analyzed to identify chemical substructures contributing to the enhancement or reduction of pIC_{50} values.

Authors' Contribution

Conceptualization, Methodology, Validation, Formal Analysis, Investigation: SL, SA, Software, Resources, Data Curation: SL, SA, AA, Writing—Original Draft Preparation, Writing—Review & Editing, Visualization, Supervision: SL, AA, Project Administration: SL.

Ethical Statement

No human or animal subjects were used in this study, and therefore, no ethical approval was required. The authors avoided data fabrication, falsification, plagiarism, and misconduct.

Conflicts of Interest

The authors declare no conflict of interest.

Funding

This research received no financial support.

Acknowledgment

The authors thank the all of participants and persons who help in this project.

مطالعه ارتباط کمی ساختار- فعالیت برخی از داروهای مهارکننده آنزیم مبدل آنزیوتانسین I در کنترل فشارخون بر اساس روش بهینه‌سازی موتف کارلو

شهرام لطفی^{۱*}, شهین احمدی^۲, علی عظیمی^۳

^۱ گروه شیمی، دانشگاه پیام نور، تهران، ایران

^۲ گروه شیمی، واحد علوم پزشکی تهران، دانشگاه آزاد اسلامی، تهران، ایران

^۳ گروه شیمی، واحد علوم و تحقیقات، دانشگاه آزاد اسلامی، تهران، ایران

اطلاعات مقاله

نوع مقاله: پژوهشی

تاریخ دریافت: ۱۴۰۳/۱۰/۰۸

تاریخ ویرایش: ۱۴۰۳/۱۱/۱۴

تاریخ پذیرش: ۱۴۰۳/۱۲/۲۰

تاریخ انتشار: ۱۴۰۴/۰۳/۰۵

نویسنده مسئول:

شهرام لطفی

گروه شیمی، دانشگاه پیام نور،

تهران، ایران

مقدمه: فشارخون به عنوان یکی از جدی‌ترین بیماری‌های قلبی عروقی مطرح است که تأثیر نامطلوبی بر سلامت انسان دارد.

کنترل و پیشگیری از این عارضه برای سلامت جهان حیاتی تلقی شده است. مهارکننده‌های آنزیم مبدل آنزیوتانسین گروهی از داروها هستند که عمدها در کنترل بیماری‌های قلبی عروقی استفاده می‌شوند. هدف از این کار توسعه مدل‌های ارتباط کمی ساختار- فعالیت برای پیش‌بینی فعالیت برخی ترکیبات شیمیابی، به عنوان مهارکننده آنزیم مبدل آنزیوتانسین I در کنترل فشارخون، بر اساس روش بهینه‌سازی موتف کارلو بود.

مواد و روش‌ها: در این مطالعه، ارتباط کمی ساختار- فعالیت برای پیش‌بینی فعالیت مهارکننده داده، شامل ۲۵۵ ترکیب شیمیابی مهارکننده آنزیم مبدل آنزیوتانسین I، بر اساس الگوریتم مونت کارلو مطالعه شد. فایل ورودی نرم افزار CORAL شامل ساختارهای ترکیبات به نام SMILES به همراه فعالیت مهارکننده آنها است که به طور تصادفی به چهار گروه شامل آموزش فعال، آموزش غیرفعال، کالیبراسیون و اعتبارسنجی تقسیم گردیدند. این تقسیم‌بندی سه بار به صورت تصادفی تکرار شد و برای هر تقسیم‌بندی یک مدل جداگانه ایجاد گردید.

یافته‌های پژوهش: توصیفگرهای بهینه از مدل هیریدی حاصل از ترکیب میان توصیفگرهای SMILES و گراف مولکولی بدون هیدروژن برای ساخت مدل‌های QSAR (WIIIC=0.3, TF₀ (WIIIC=WCII=0)=0.3) بدین معنی که کار برده شد. چهارتابع هدف یعنی (TF₁, TF₂ (WIIIC=0, WCII=0.3) و TF₃ (WIIIC=WCII=0.3) برای ساخت ۱۲ مدل QSAR استفاده گردید. نتایج آماری هر تابع هدف با یکدیگر مقایسه شد.

بحث و نتیجه‌گیری: در این مطالعه، مدل‌سازی داده‌های تجربی برخی از ترکیبات شیمیابی به عنوان مهارکننده آنزیم مبدل آنزیوتانسین I انجام گردید. کیفیت آماری مدل ارتباط کمی ساختار- فعالیت ایجاد شده با استفاده از تابع هدف TF₃ برای شکاف ۲ بهتر از مدل‌های دیگر بود؛ بنابراین، به عنوان بهترین مدل در نظر گرفته شد. با استفاده از مدل به دست آمده، ویژگی‌های ساختاری مسئول افزایش و کاهش فعالیت مهارکننده شناسایی گردید.

واژه‌های کلیدی: مدل QSAR، مهارکننده آنزیم مبدل آنزیوتانسین I، بیماری فشارخون، نرم افزار کورال

استناد: لطفی شهرام، احمدی شهین، عظیمی علی. مطالعه ارتباط کمی ساختار- فعالیت برخی از داروهای مهارکننده آنزیم مبدل آنزیوتانسین I در کنترل فشارخون بر اساس روش

بهینه‌سازی مونت کارلو. مجله دانشگاه علوم پزشکی ایلام، خرداد ۱۴۰۴؛ ۳۳(۲): ۴۴-۲۶.



مقدمه

بیماری‌های قلبی عروقی (CVD) به عنوان بزرگ‌ترین علت مرگ‌ومیر در سراسر جهان شناخته شده است. فشارخون بالا یا پرفشاری خون وضعیت افزایش مداوم سطح فشارخون است و عامل خطر اولیه برای CVD است. در حال حاضر، انواع مختلفی از داروها مانند مهارکننده‌های رین، مسدودکننده‌های گیرنده آثربوتناسین (ARBs) II و مهارکننده‌های آنزیم مبدل آثربوتناسین (ACEIs) برای کنترل فشارخون بالا وجود دارد. آثربوتناسینوژن یک پروتئین سنتزشده در کبد است که در خون آزاد می‌شود و به وسیله هورمون رین به آثربوتناسین I تبدیل می‌گردد؛ سپس آثربوتناسین I توسط آنزیم مبدل آثربوتناسین (ACE) در ریه، به آثربوتناسین II تبدیل می‌شود. عملکرد نهایی هورمون آثربوتناسین II از طریق انقباض عروقی، افزایش دهنده فشارخون است (۱، ۲). بنابراین، ACE دارای یک عملکرد اساسی در تنظیم فشارخون در نظر گرفته می‌شود و موادی با اثر بازدارنده بر فعالیت ACE را می‌توان به عنوان کنترل بالقوه فشارخون بالا در نظر گرفت.

تاکنون تعداد بسیاری از مهارکننده‌های ACE قوی و خاص به عنوان داروهای خوراکی سنتز شده‌اند که در کنترل فشارخون بالا استفاده می‌گردند. در سال ۱۹۷۷، کوشمن و همکاران (۳) برای اولین بار کاپتوپریل را به عنوان مهارکننده ACE سنتز کردند. از آنجاکه این دارو برای استفاده در سال ۱۹۸۱ تأیید شد، نقش مهارکننده‌های ACE در کنترل بالینی فشارخون بالا به طور کلی توسط جامعه پزشکی شناخته شده است. در حال حاضر، داروهای سنتزی مانند کاپتوپریل، انالاپریل، لیزینوپریل و سایر مهارکننده‌های ACE برای کنترل فشارخون بالا استفاده می‌گردد که اثر بالایی بر کاهش فشارخون دارند (۴). با این حال، مصرف برخی از این داروها با عوارض جانبی مانند سرفه خشک، واکنش‌های اگزمازی، افت فشارخون، اختلالات چشمی و آثربوادم روده کوچک همراه است (۵-۷). بروز تقریباً همه این آثار جانبی را می‌توان با طراحی I ACE با میل ترکیبی بیشتر به محل فعل ایجاد کرد.

مقادیر IC50 کمتر و سمیت کمتر کاهش داد؛ بنابراین، مطالعاتی که بر مهارکننده ACE تمرکز دارند، به سوی توسعه داروهایی با عوارض جانبی کمتر برای ایجاد راهبردی جایگزین حرکت می‌کنند (۸).

فرایند توسعه دارو اغلب به علت محدودیت‌های مختلف در زمان و منابع، با تأخیر مواجه می‌شود. از سویی، رویکرد تجربی برای بررسی رابطه میان فعالیت‌ها و ساختارهای مولکولی زمانبر و پرزحمت است. مطالعات شیمی افزورماتیک به طور فزاینده‌ای برای رسیدگی به این چالش استفاده می‌گردد. شیمی افزورماتیک با استفاده از روش‌های محاسباتی طیف وسیعی از کاربردها، از جمله کشف ترکیبات دارویی جدید، شناسایی اهداف دارویی و بهینه‌سازی خواص دارویی یا سنتیک دارویی ترکیبات شیمیایی موجود با فعالیت‌های بیولوژیکی را ارائه می‌کند. در میان ابزارهای مختلف در شیمی افزورماتیک، رابطه کمی ساختار-فعالیت (QSAR) به عنوان رویکردی برجسته و به طور گسترده پذیرفته شده است. امروزه شیمی دارویی بر روش‌های محاسباتی متعددی تمرکز دارد که از نظر زمان و هزینه مفروض به صرفه هستند (۹-۱۱). هریک از روش‌های نظری ویژگی‌های خاص خود را دارند. روش مدل‌سازی QSAR نقش مهمی در طراحی و توسعه دارو دارد (۱۲، ۱۳). مدل QSAR یک معادله ریاضی است که ساختار شیمیایی مولکول‌های مطالعه را به خواص فیزیکی، شیمیایی یا فعالیت دارویی آنها از طریق توصیفگرهای شیمیایی تولیدشده از ساختار مولکولی مرتبط می‌کند (۱۴).

مدل‌های ایجادشده با استفاده از QSAR می‌تواند در تخمین اثربخشی داروهای مطالعه شده از سوی محققان و متخصصان شیمی دارویی، حتی پیش از سنتز آن‌ها مؤثر باشد؛ بنابراین، با صرف هزینه و زمان کمتر و پیش از انجام آزمایش‌های برون‌تن یا درون‌تن می‌توان آثار بیولوژیک احتمالی آن‌ها را پیش‌بینی کرد. با استفاده از روش‌های محاسباتی، الگوهای ساختاری مهارکننده‌ها را می‌توان بهتر شناسایی کرد و بینش بهتری درباره ساختار اثر دارو ارائه داد (۱۵)؛ بنابراین، با استفاده از این روش، تعداد فراوانی از

از چهار زیرمجموعه (آموزش فعال، آموزش غیرفعال، کالیبراسیون و اعتبارسنجی) از داده‌ها، به منظور سه تقسیم تصادفی برای هر تابع هدف TF_0 , TF_1 و TF_3 به دقت ارزیابی شد.

مواد و روش‌ها

داده‌های استفاده شده در این تحقیق برای ایجاد مدل QSAR که شامل ۲۵۵ ترکیب شیمیایی متعدد از ترکیبات هتروسیکلیک با فعالیت مهارکنندگی (IC₅₀/ میانه غلظت بازدارندگی) در برابر آنزیم تبدیل کننده آنژیوتانسین I، به همراه نماد SMILES ترکیبات، از مقاالت شاه و همکاران (۲۵) جمع آوری گردید. دامنه فعالیت بازدارنده‌ها در واحد منفی لگاریتم در محدوده ۳/۵۵۳ تا ۹/۸۵۸ بود.

برای مدل‌سازی رابطه کمی ساختار-فعالیت از تابع iIC_{50} (-logIC₅₀) این ترکیبات، به عنوان متغیر وابسته استفاده شد. داده‌ها به صورت غیرانتخابی به چهار گروه آموزش فعال، آموزش غیرفعال، کالیبراسیون و اعتبارسنجی تقسیم گردید و به هر کدام از گروه‌های آموزش فعال و آموزش غیرفعال تقریباً ۲۷ درصد، کالیبراسیون ۲۴ درصد و آزمون ۲۲ درصد از داده‌ها اختصاص داده شد. جدول شماره ۱ درصد توزیع یکسانی ترکیبات دسته آموزش فعال، آموزش غیرفعال، کالیبراسیون و اعتبارسنجی برای شکاف ۱ تا ۳ با سایر شکافت‌ها را نشان می‌دهد. این درصدها بر اساس رابطه زیر محاسبه شده است:

$$Identity (\%) = \frac{\sum_i}{0.5 \times (i + N_i)} \times 100$$

در اینجا $N_{i,j}$ تعداد ترکیباتی که برای هر دو شکاف ^{*i*} و ^{*j*} در یک دسته توزیع شده‌اند (یعنی دسته می‌تواند آموزش فعال، آموزش غیرفعال، کالیبراسیون یا اعتبارسنجی باشد)، N_i تعداد ترکیباتی است که برای شکاف ^{*i*} در یک دسته توزیع می‌شوند و N_j تعداد ترکیباتی است که در دسته برای شکاف ^{*j*} توزیع می‌گردند.

هر کدام از دسته‌های آموزش فعال، آموزش غیرفعال، کالیبراسیون و اعتبارسنجی وظیفه‌ای دارند. دسته آموزش مسئول ساخت مدل QSAR با استفاده از محاسبه CWها

ترکیبات از جمله آن‌هایی را که هنوز سنتر نشده‌اند، می‌توان بررسی نمود تا ساختارهایی با خصوصیات مدنظر برای سنتر و آزمایش انتخاب گردد.

پیش از مطالعات تجربی روی مهارکنندگاهای ACE، باید یک روش جایگزین در نظر گرفته شود که بتواند در آن، رابطه میان فعالیت‌های زیستی و ساختارهای شیمیایی استفاده گردد. برای بررسی سازوکار میان ساختار و فعالیت زیستی ACE I، پرابه‌اکار و گوپتا (۱۶) اولین مطالعه QSAR را روی مهارکنندگاهای ACE انجام داده‌اند.

نرم‌افزار (<http://www.insilico.eu/coral>)

CORAL نرم‌افزاری کاربردی برای ایجاد مدل‌های QSAR، به منظور پیش‌بینی نقاط پایانی مختلف است (۲۰-۲۱). در این نرم‌افزار، از نماد SMILES از ساختار مولکولی ترکیبات برای ایجاد مدل‌های QSAR استفاده می‌شود؛ همچنین از نماد SMILES برای تعیین وزن همبستگی (DCW) توصیفگرها با کمک روش مونت کارلو استفاده می‌گردد. ضریب همبستگی میان توصیفگر بهینه (وزن‌های همبستگی) و نقطه پایانی توسط این نرم‌افزار محاسبه می‌شود و متعاقباً از آن برای تولید تابع هدف استفاده می‌گردد. گزارش‌های پیشین نشان داده‌اند که شاخص شدت همبستگی (CII) و شاخص ایدئال همبستگی (IIC) برای افزایش قابلیت پیش‌بینی مدل‌های QSAR به کار گرفته شده‌اند (۲۱-۲۳). هنگامی که CII و IIC با هم به کار می‌روند، کیفیت بهینه‌سازی مونت کارلو را در ساخت مدل QSAR افزایش می‌دهند (۲۴).

هدف از این کار توسعه مدل‌های قابل اعتماد QSAR

برای پیش‌بینی فعالیت ۲۵۵ (IC₅₀) ترکیب شیمیایی، به عنوان مهارکننده آنزیم مدل آنژیوتانسین I (ACE I)، با استفاده از نرم‌افزار CORAL مبتنی بر بهینه‌سازی مونت کارلو است. در این مطالعه، از روش تعادل همبستگی برای تولید مدل‌های QSAR استفاده می‌شود. در این روش، داده‌ها به چهار گروه آموزش فعال، آموزش غیرفعال، کالیبراسیون و اعتبارسنجی تقسیم می‌گردند، در حالی که در روش‌های دیگر، داده‌ها به سه گروه آموزش، کالیبراسیون و اعتبارسنجی تقسیم می‌شوند. قابلیت اطمینان و قدرت پیش‌بینی مدل‌های پیشنهادی با استفاده

استفاده می‌شود و مجموعه اعتبارسنجی برای ارزیابی نهایی پتانسیل پیش‌بینی مدل‌های توسعه یافته استفاده می‌گردد (۲۷، ۲۶، ۲۲). این کار سه بار به صورت تصادفی برای هر تابع هدف (TF₀, TF₁, TF₂ و TF₃) انجام شده است.

(وزن‌های همبستگی) است که بیشترین ضریب همبستگی را در میان توصیفگرها و pIC₅₀ دارد؛ دسته آموزش غیرفعال بررسی می‌کند که آیا مدل ایجاد شده برای ترکیباتی که در مجموعه آموزشی فعال نیستند، مناسب است یا خیر؛ مجموعه کالیبراسیون برای شناسایی شروع پیش‌پردازش مدل QSAR

جدول شماره ۱. درصد یکسانی ترکیبات دسته آموزش غیرفعال، آموزش غیرفعال، کالیبراسیون و اعتبارسنجی هر شکافت با سایر شکافت‌ها

Split	Set	Split1	Split2	Split3
1	Active Training	100	22.0	18.6
	Passive training	100	26.8	25.2
	Calibration	100	28.3	19.0
	Validation	100	27.9	18.8
2	Active Training		100	15.6
	Passive training		100	25.0
	Calibration		100	20.5
	Validation		100	18.9
3	Active Training			100
	Passive training			100
	Calibration			100
	Validation			100

می‌شود. C₀ و C₁ ضرایب رگرسیونی هستند که با روش حداقل مربعات محاسبه می‌گردد. T* و N* شاخص‌های بهینه‌سازی مونت کارلو هستند که مقدار آستانه و تعداد دوره‌های بهینه‌سازی وزن‌های همبستگی را نشان می‌دهند. در این مطالعه، مدل QSAR برای پیش‌بینی نقطه پایانی با استفاده از توصیفگر بهینه ترکیبی بر اساس وزن‌های همبستگی ویژگی‌های SMILES و گراف مولکولی بدون هیدروژن (HSG) طراحی شده است و از طریق معادله زیر محاسبه می‌شود:

$$\text{Hybrid DCW}(T^*, N^*) = \text{SMILES DCW}(T^*, N^*) + \text{HSG DCW}(T^*, N^*)$$

به منظور ایجاد مدل‌های QSAR، چهار تابع هدف TF₀, TF₁, TF₂ و TF₃ به صورت زیر، برای بهینه‌سازی مونت کارلو بررسی گردید و نتایج آماری آن‌ها مقایسه شد:

انتخاب توصیفگرهای مولکولی مناسب

برای تحویل دوز تجویز شده پرتو درمانی 300 (cGy) به بیمار در حالت استفاده از MLC، برای میدان AP یک شیلد جزیره‌ای در چند مرحله با استفاده از زاویه پرتو و زاویه کولیماتور مشابه روش بلوک سروپندی طراحی شد. هر یک از میدان‌های قدامی و خلفی به سه مرحله تقسیم گردید.

$$Y = C_0 + C_1 \times \text{Hybrid DCW}(T^*, N^*) \quad (2)$$

تابعی از ویژگی‌های مولکولی (به عنوان مثال، ویژگی‌های ساختاری) است که از نماد SMILES استخراج

رابطه ریاضی محاسبه وزن‌های همبستگی هر کدام از توصیفگرهای SMILES و HSG در اطلاعات تکمیلی مقاله به ترتیب در معادله‌های شماره ۱ و ۲ آورده شده است.

بهینه‌سازی وزن‌ها به روش مونت کارلو

$$TF_0 = R_{ATRN} + R_{PTRN} - |R_{ATRN} - R_{PTRN}| \times dr_{weight} \quad (4)$$

$$TF_1 = TF_0 + IIC_{CAL} \times \text{Weight For IIC} (IIC_{weight}) \quad (5)$$

$$TF_2 = TF_0 + CII_{CAL} \times \text{Weight For CII (CII}_{\text{weight}}\text{)} \quad (6)$$

$$TF_3 = TF_0 + IIC_{CAL} \times IIC_{\text{weight}} + CII_{CAL} \times CII_{\text{weight}} \quad (7)$$

تعیین اینکه آیا مدل های طراحی شده QSAR پیش‌بینی های درست یا اشتباه دارند، استفاده می‌شود؛ بنابراین، اگر مولکول در AD مدل ایجاد شده قرار گیرد، پیش‌بینی نقطه پایانی با استفاده از مدل قبل تصور است و اگر مولکول خارج از AD باشد، پیش‌بینی صحیح نقطه پایانی غیرممکن می‌گردد. در نرم افزار CORAL، AD بر اساس نقص SMILES است که کیفیت ویژگی های مولکولی استخراج شده از ماده را تعیین می‌کند. در مدل CORAL، AD با توجه به توزیع ویژگی های ساختاری (Ak) استخراج شده از SMILES یا HSG در مجموعه های آموزش فعال و کالیبراسیون تعریف می‌شود. رابطه ریاضی محاسبه نقص آماری مرکب (Defect compound) برای یک توصیفگر (Ak) در اطلاعات تکمیلی مقامه در معادله ۸ آورده شده است.

نقص آماری مرکب SMILES را می‌توان به عنوان مجموع عیوب آماری همه ویژگی ها محاسبه کرد.

$$\text{Defect}_{\text{compound}} = \sum_{k=1}^{NA} \text{Defect}_{A_k} \quad (8)$$

در نرم افزار CORAL، اگر نامساوی زیر برقرار باشد، یک ترکیب در محدوده دامنه کاربرد مدل قرار می‌گیرد، در غیر این صورت، به عنوان یک داده پرت شناخته می‌شود:

$$\text{Defect}_{\text{compound}} < 2 \times \overline{\text{Defect}}_T \quad (9)$$

از وزن های همبستگی (DCW) از طریق بهینه سازی مونت کارلو برای هرتابع هدف محاسبه گردیدند. ویژگی های آماری مدل های CORAL محاسبه شده با TF_0 , TF_1 , TF_2 و TF_3 در اطلاعات تکمیلی مقامه در جدول شماره ۱ نشان داده شده است. از روش توازن همبستگی برای ایجاد مدل های QSAR با تابع هدف TF_0 ($WIIC=WCII=0$) استفاده شد. برای ایجاد مدل های QSAR با استفاده از تابع هدف TF_1 ، تنها TF_0 (۰.۳) $WIIC=0$ و $WCII=0$ است. برای ایجاد مدل های QSAR با استفاده از تابع هدف TF_2 ، تنها TF_0 (۰.۳) $WIIC=0$ و $WCII=0$ است. برای ایجاد مدل های QSAR با استفاده از تابع هدف TF_3 ، تنها TF_0 (۰.۳) $WIIC=0$ و $WCII=0$ است. کیفیت آماری R^2 و RMSE را برای

RATRN و RPTRN ضرایب همبستگی میان نقاط پایانی pIC_{50} مشاهده شده و پیش‌بینی شده برای مجموعه های آموزش فعال و آموزش غیرفعال هستند. مقدار عددی وزن های CII و IIC ثابت هستند. در این تحقیق، به ترتیب IIC_{weight} برابر $0/3$ و CII_{weight} نیز $0/3$ در نظر گرفته شده است. $IICCAL$ (شاخص ایدئال بودن همبستگی) و $CIICAL$ (شاخص شدت همبستگی) با استفاده از داده های مجموعه کالیبراسیون محاسبه می‌شوند. این شاخص ها برای بهبود کیفیت بهینه سازی مونت کارلو برای ایجاد مدل QSAR به کار می‌روند. روابط ریاضی محاسبه IIC و CII در اطلاعات تکمیلی مقامه در معادله های ۳ تا ۷ آورده شده است.

دامنه کاربرد مدل

بر اساس اصل سوم سازمان همکاری اقتصادی و توسعه (OECD)، دامنه کاربرد (AD) معیار مهمی است که باید در هر مدل QSAR ایجاد شده گنجانده گردد. AD برای

که $\overline{\text{Defect}}_T$ میانگین نقص آماری برای دسته آموزش فعال است.

یافته های پژوهش

در این مطالعه، برای ارائه نتایج آماری قابل اعتماد، سه مدل CORAL برای هر نوع تابع هدف (TF_0 , TF_1 , TF_2 و TF_3) و درمجموع، ۱۲ مدل QSAR با استفاده از توصیفگر های بهینه ترکیبی استخراج شده از ویژگی های HSG و SMILES ساخته شد. توصیفگر های بهینه با استفاده

مجموعه کالیراسیون و اعتبارسنجی بهبود می‌بخشد.

برای ساخت مدل‌های مبتنی بر بهینه‌سازی TF_2 ، تنها از (WIIC=0 & WCII=0.3) CII استفاده گردید و نتایج تأیید می‌کند که افزودن TF_0 باعث افزایش مقدار عددی R2 برای همه زیرمجموعه‌ها (آموزش فعال، آموزش غیرفعال، مجموعه‌های کالیراسیون و اعتبارسنجی) شد. درنهایت، در مدل ساخته شده با تابع هدف TF_3 ، IIC، TF و CII و WIIC=0.3 و WCII=0.3) به طور همزمان استفاده گردیدند. در گزارش‌های پیشین آمده است که تولید تابع هدف با گنجاندن IIC و CII به طور همزمان می‌تواند کارآمدتر از استفاده از IIC یا CII به تنهایی باشد (۲۴). درنهایت، مدل‌های بهبودیافته با تابع هدف TF_3 از نظر آماری بر همه مدل‌های دیگر برتری داشتند؛ بنابراین، آن‌ها را به مدل‌های قابل اعتماد برای پیش‌بینی احتمالی آینده تبدیل کرد. ویژگی‌های آماری مدل‌های محاسبه شده با TF_3 در جدول شماره ۲ آورده شده است.

جدول شماره ۲. مشخصات آماری برای مدل‌های QSAR مربوط به اثر مهارکنندگی آنزیم مدل آثربوتنسین I ترکیبات مطالعه شده بر اساس تابع هدف TF_3

Split	Set	n	R ²	CCC	IIC	CII	Q ²	Q ² F ₁	Q ² F ₂	Q ² F ₃	RMSE	MAE	F	\bar{r}_m^2	Δr_m^2	Y-Test	Rm* ² (test)	5-fold
۱	ActivTRN	68	0.8494	0.9159	0.9121	0.9121	0.8354				0.686	0.540	360					0.8347
	Pass TRN	69	0.8451	0.9175	0.8575	0.9012	0.8363				0.650	0.515	363					0.8376
	Calib	63	0.7113	0.8399	0.8434	0.8487	0.6942	0.6840	0.6639	0.7695	0.819	0.658	150	0.6009	0.0837		0.5590	0.6975
	Valid	55	0.7783	0.8755	0.8203	0.8721	0.7593				0.7528	0.6007	186	0.6885	0.0295	0.0183	0.6737	0.7637
۲	ActivTRN	68	0.7792	0.8759	0.8323	0.8716	0.7658				0.731	0.591	233					0.7595
	Pass TRN	69	0.8298	0.9003	0.5151	0.9048	0.8200				0.712	0.573	327					0.8177
	Calib	64	0.7581	0.8626	0.8707	0.8691	0.7398	0.7350	0.7292	0.7765	0.759	0.618	194	0.6621	0.0050		0.6595	0.7398
	Valid	54	0.8553	0.9229	0.7990	0.8983	0.8522				0.6006	0.4528	230	0.7386	0.0182	0.0294	0.7295	0.8024
۳	ActivTRN	70	0.8371	0.9113	0.8641	0.9066	0.8275				0.643	0.510	394					0.8277
	Pass TRN	71	0.8523	0.9095	0.8624	0.9125	0.8443				0.717	0.551	398					0.8461
	Calib	63	0.7154	0.8361	0.8458	0.8350	0.6931	0.7006	0.6941	0.6058	0.754	0.624	153	0.6058	0.0798		0.6458	0.6936
	Valid	51	0.7647	0.8661	0.8354	0.8481	0.7469				0.7577	0.6029	159	0.6677	0.1408	0.0231	0.7381	0.7433

pIC₅₀ به دست آمده با تابع هدف TF₃ توسط معادلات زیر

ارائه می شوند:

$$pIC_{50} = -0.18839 (\pm 0.04813) + 0.08860 (\pm 0.00058) * DCW(7, 35)$$

$$pIC_{50} = 0.47962 (\pm 0.05711) + 0.07845 (\pm 0.00063) * DCW(7, 35)$$

$$pIC_{50} = -0.34947 (\pm 0.05090) + 0.07023 (\pm 0.00046) * DCW(7, 35)$$

مدل‌های ایجاد شده با استفاده از TF₀, TF₁ و TF₂ در

اطلاعات تکمیلی مقاله آمده است و مدل‌های ساخته شده برای

شکاف ۱

شکاف ۲

شکاف ۳

در ارزیابی قابلیت اطمینان و استحکام مدل‌های QSAR مهم است. اعتبارسنجی مدل را می‌توان با استفاده از الف. اعتبارسنجی متقابل (Q2) یا اعتبارسنجی داخلی (R₂), ب. اعتبارسنجی خارجی و ج. تصادفی‌سازی داده‌ها یا درهم‌آمیختگی Y بررسی کرد. معادله ریاضی این معیارهای آماری در مقالات پیشین ارائه گردیده (۲۹-۳۱) و همچنین در جدول شماره ۳ آورده شده است.

نتایج آماری مدل‌ها (جدول شماره ۲) نشان داد که همه مدل‌های به دست آمده با استفاده از TF₃ به اندازه کافی برای پیش‌بینی pIC₅₀ خوب بودند و با الزامات مؤلفه‌های pIC₅₀ مختلف موافق دارند (۲۸). مقادیر مشاهده شده و محاسبه شده و همچنین دامنه کاربرد ترکیبات استفاده شده در این کار در جداول S1 در فایل Excel آمده است.

اعتبارسنجی مدل: اعتبارسنجی مدل‌های توسعه یافته

جدول شماره ۳. معادله ریاضی شاخص‌های اعتبارسنجی مدل‌های QSAR

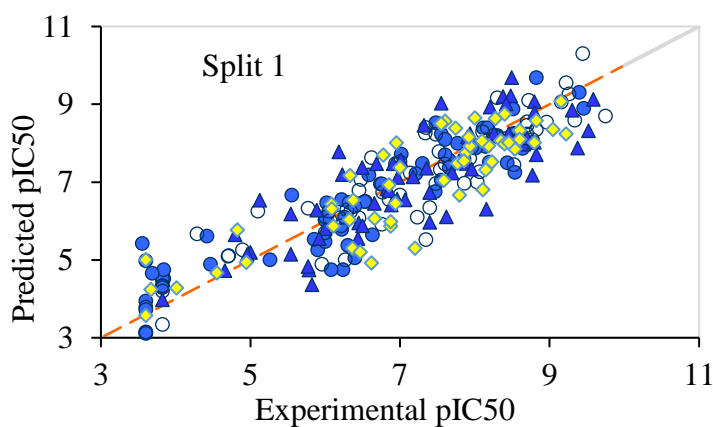
نوع اعتبارسنجی	معیار پتانسیل پیشگویی
داخلی	$R^2 = 1 - \frac{\sum(Y_{obs} - Y_{prd})^2}{\sum(Y_{obs} - \bar{Y})^2}$
	$Q^2 = 1 - \frac{\sum(Y_{prd} - Y_{obs})^2}{\sum(Y_{obs} - \bar{Y}_{train})^2}$
	$Q_{F1}^2 = 1 - \frac{\sum(Y_{per(test)} - Y_{obs(test)})^2}{\sum(Y_{obs(test)} - \bar{Y}_{train})^2}$
	$Q_{F2}^2 = 1 - \frac{\sum(Y_{prd(test)} - Y_{obs(test)})^2}{\sum(Y_{obs(test)} - \bar{Y}_{ext})^2}$
	$Q_{F3}^2 = 1 - \frac{\sum(Y_{prd(test)} - Y_{obs(test)})^2 / n_{ext}}{\sum(Y_{obs(test)} - \bar{Y}_{train})^2 / n_{train}}$
	$R_m^2 = R^2 \times \left(1 - \sqrt{R^2 - R_0^2}\right)$
خارجی	$CCC = \frac{2 \sum(X - \bar{X})(Y - \bar{Y})}{\sum(X - \bar{X})^2 + \sum(Y - \bar{Y})^2 + n((\bar{X} - \bar{Y})^2)}$
	$MAE = \frac{1}{n} \times \sum Y_{obs} - Y_{prd} $
آزمون تصادفی‌سازی	$C_{R_p^2} = R \sqrt{(R^2 - R_r^2)}$

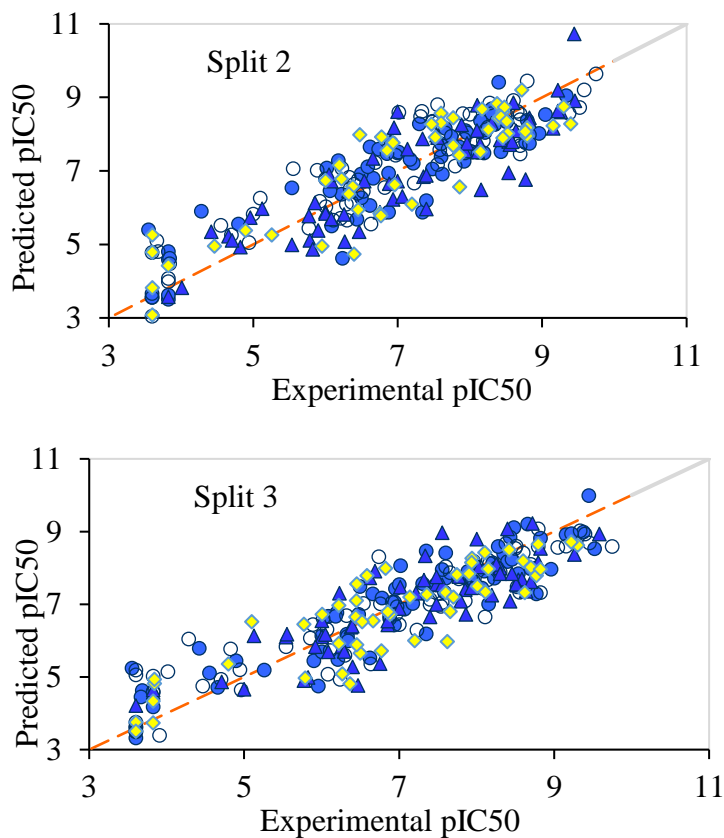
۱/۰ یافت شد که نشان دهنده این است که همبستگی میان pIC_{50} و توصیفگرهای مولکولی بر اساس همبستگی تصادفی نیست. علاوه بر این، برای سه مدل، cR_p^{82} بیشتر از ۰/۷ به دست آمد که همبستگی غیرشانسی مدل‌های توسعه یافته را تأیید کرد (۳۵). همان‌طور که جدول شماره ۲ نشان می‌دهد، مقادیر عددی ویژگی‌های آماری محاسبه شده برای همه مدل‌های طراحی شده در محدوده‌های قابل قبولی قرار داشتند که در منابع گزارش شده است (۳۶، ۳۷)؛ بنابراین، مدل‌های QSAR ایجاد شده از نظر آماری قابل اعتماد هستند و پتانسیل پیش‌بینی خوبی دارند.

بر اساس نتایج آماری مدل‌های ایجاد شده، مدل مربوط به شکافت ۲ که بالاترین شاخص‌های آماری برای دسته اعتبارسنجی را داشت، به عنوان بهترین مدل انتخاب گردید و می‌توان pIC_{50} مربوط به ترکیباتی که آن‌ها گزارش نشده است، با استفاده از این مدل پیشگویی و گزارش نمود. شکل شماره ۱ نمایش تصویری داده‌های مشاهده شده نمود. در مقابل pIC_{50} محاسبه شده برای سه مدل به دست آمده با استفاده از تابع هدف TF_3 را نشان می‌دهد.

توانایی پیش‌بینی مدل QSAR در صورتی قابل قبول است که مقدار عددی Q_2 و R^2 بیشتر از ۰/۷ باشد (۳۲). Q_2 به عنوان یک معیار آماری، برای ارزیابی دقیق پیش‌بینی عمل می‌کند. مقدار Q^2 بالا نشان می‌دهد که مدل می‌تواند داده‌های جدید را بدقت پیش‌بینی کند، در حالی که مقدار Q_2 پایین نشان می‌دهد که مدل بسیار خاص برای داده‌های آموزشی است و نمی‌تواند به طور مؤثر به داده‌های جدید تعمیم داده شود (۳۳). درباره اعتبارسنجی خارجی، اگر $CCC > 0.85$ باشد، مدل را می‌توان به عنوان مدلی با قابلیت پیش‌بینی خوب بیان کرد (۳۴). Q_F1^{82} توانایی مدل برای پیش‌بینی فعالیت ترکیبات موجود در مجموعة اعتبارسنجی را اندازه گیری می‌کند. Q_F2^{82} همبستگی میان مقادیر تجربی و مقادیر پیش‌بینی شده را در مجموعة اعتبارسنجی اندازه گیری می‌نماید. Q_F3^{82} توانایی مدل را برای پیش‌بینی فعالیت ترکیباتی اندازه گیری می‌کند که در مجموعه داده استفاده شده برای ساخت مدل گنجانده نشده‌اند؛ همچنین درباره آزمون تصادفی سازی Y، پس از چندین بار تکرار، مدل‌های تصادفی جدید ایجاد گردید و مقادیر R^2 زیر

● Active training set ○ Passive training set ▲ Calibration set ◆ Validation set

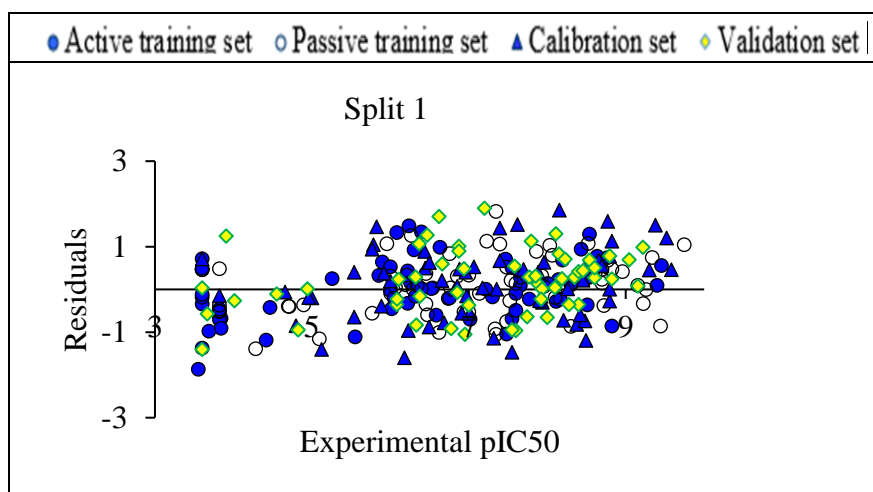


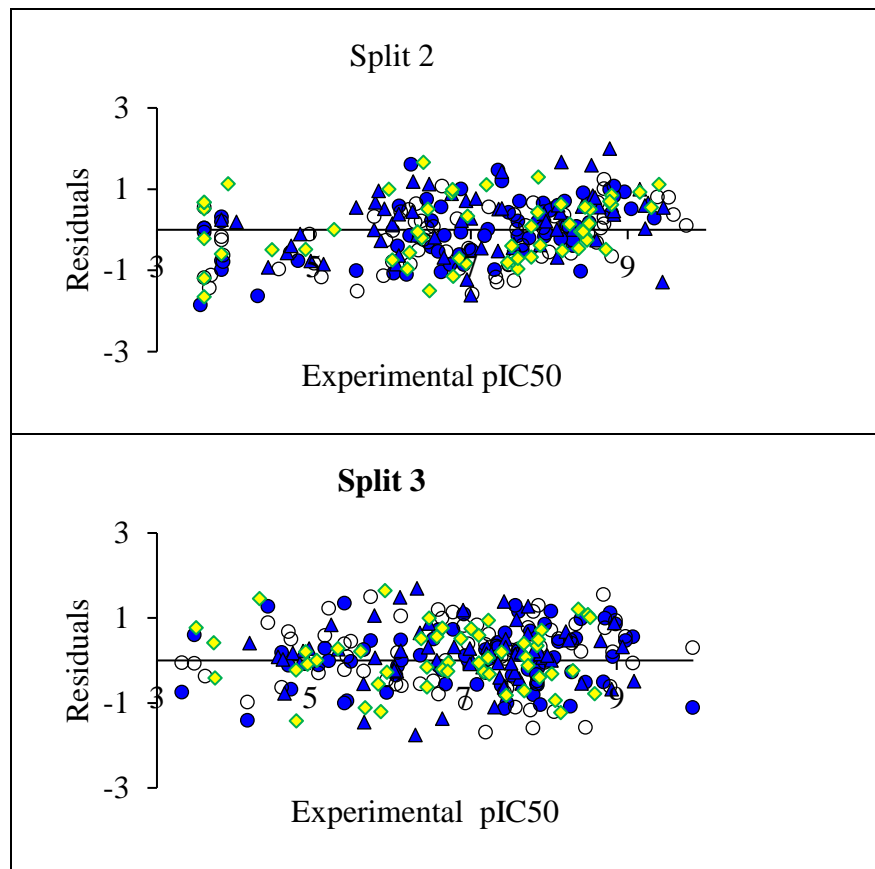


شکل شماره ۱. نمایش همبستگی میان pIC_{50} مشاهده شده و محاسبه شده برای مدل های ۱ تا ۳ به دست آمده با استفاده از تابع هدف TF_3

مقابل مقادیر pIC_{50} پیش‌بینی شده برای همه مدل های QSAR در شکل شماره ۲ نشان داده شده است. پراکنده گی باقیمانده های pIC_{50} در نزدیکی خط افقی در مرکز صفر دیده می شود که نشان می دهد، همه مدل های QSAR ایجاد شده به خوبی برآذش شده اند.

همان طور که در شکل شماره ۱ دیده می شود، همبستگی خوبی میان داده های مشاهده شده و محاسبه شده در مدل های ایجاد گردیده وجود دارد. این نتایج تأیید می کنند که مدل های QSAR ایجاد شده قابل اطمینان هستند و به خوبی برآذش شده اند؛ همچنین نمودارهای باقیمانده های pIC_{50} در





شکل شماره ۲. نمایش تصویری از باقیماندهای pIC_{50} تجربی برای همه مدل‌های QSAR ساخته شده با استفاده از TF_3

اجراهای مختلف یک مدل احتمالاً مثبت، منفی یا در یک اجرا مثبت و در اجرای دیگر منفی باشد. اگر ضریب یک توصیفگر در همه اجراهای مثبت یا منفی باشد، به ترتیب توصیفگر افزاینده و کاهنده فعالیت برای نقطه پایانی محسوب می‌شوند و اگر این ضریب در بعضی اجراهای مثبت و در بعضی از اجراهای منفی گردد، این توصیفگر تعریف نشده به شمار می‌رود. جدول شماره ۴ فهرستی از ویژگی‌های ساختاری را به عنوان توصیفگرهای افزاینده یا کاهنده pIC_{50} نشان می‌دهد که از سه اجرای بهینه‌سازی مونت کارلو با T^* و N^* بهینه به همراه تفسیر توصیفگرها به دست آمدند.

تفسیر مدل QSAR

تفسیر مکانیکی مدل‌ها به در ک تأثیر توصیفگرها در نقطه پایانی پیش‌بینی شده کمک می‌کند؛ یعنی ویژگی‌های مولکولی افزاینده و کاهنده فعالیت را بیان می‌نماید. در مدل‌سازی QSAR توسط برنامه CORAL، ویژگی‌های ساختاری (A_k) که از سه یا بیشتر از سه اجرای مستقل، از بهینه‌سازی مونت کارلو به دست می‌آید، برای دستیابی به تفسیر مکانیکی مدل‌ها به کار گرفته می‌شوند.

برای هر یک از ویژگی‌های CW در SMILES

جدول شماره ۴. لیست توصیفگرهای افزاینده و کاهنده pIC_{50} (CWS)، وزن‌های همبستگی (NAT, NPT, NCAL) در هر اجرا، تعداد ویژگی‌های ساختاری در هر زیرمجموعه به همراه تفسیر توصیفگرها

توضیحات	نقش آماری	NAT	NPT	NCAL	وزن همبستگی ۳ اجرای	وزن همبستگی ۲ اجرای	وزن همبستگی ۱ اجرای	تصویفگر
تصویفگرهای افزاینده								
	0	63	69	68	3.7417	2.2359	2.3862	(F..S)..Y.Y.
	0	64	69	68	6.1107	4.4229	4.7228	

حضور همزمان فلوئور و گوگرد	0	63	71	70	3.6381	2.3001	6.3006	
حضور همزمان فلوئور و برم	0	63	69	68	1.8739	5.0025	3.6902	(F.Br)..Y.Y.
	0	64	69	68	7.3434	5.4024	4.5281	
	0	63	71	70	2.0443	3.1968	6.6502	
حضور همزمان برم و گوگرد	0	63	69	68	2.0166	2.4536	6.4085	(Br.S)..Y.Y.
	0	64	69	68	2.6154	3.9911	2.8547	
	0	63	71	70	1.2587	4.1869	5.0175	
حضور همزمان کلر و گوگرد	0	63	69	68	6.6962	3.2312	3.4818	(Cl.S)..Y.Y.
	0	64	69	68	2.9465	4.9324	4.1836	
	0	63	71	70	2.41	1.9537	6.0964	
حضور همزمان کلر و برم	0	63	69	68	0.5254	1.1799	4.3565	(ClBr)..Y.Y.
	0	64	69	68	4.3095	4.3605	4.6398	
	0	63	71	70	6.0322	2.0605	5.5458	
حضور همزمان نیتروژن و گوگرد	0	63	69	68	7.399	2.2569	4.2778	(N..S)..Y.Y.
	0	64	69	68	5.392	6.6499	5.9261	
	0	63	71	70	1.0076	1.7201	5.3479	
حضور همزمان گوگرد و اکسیژن	0	63	69	68	6.5413	3.2167	4.6124	(O..S)..Y.Y.
	0	64	69	68	3.9696	3.9109	6.1881	
	0	63	71	70	4.0276	3.219	7.5101	
حضور نداشتند باشد سه گانه	0	63	69	68	2.4352	6.7974	6.2725	<#>..0000...
	0	64	69	68	4.3706	3.9011	4.1614	
	0	63	71	70	2.0824	2.2465	6.2491	
حضور نداشتند اتم فاوئر	0.0002	58	65	63	2.833	3.1318	1.9364	<F>..0000...
	0.0004	62	65	63	3.4436	2.6853	3.1184	
	0.0002	60	68	66	6.4975	7.8153	9.9936	

توصیفگرهای کاهنده

حضور کربن آلیاتیک	0	63	69	68	-0.7383	-0.1922	-0.2693	C.....
	0	64	69	68	-0.4816	-0.0939	-0.1677	
	0	63	71	70	-0.3825	-0.546	-0.6653	
حضور باند دو گانه همراه با شاخه دار شدن	0.0001	63	69	67	-0.4122	-0.1498	-0.7411	=...(...)
	0.0003	64	67	68	-0.6682	-0.163	-0.3104	
	0.0002	62	71	69	-0.7469	-0.5216	-0.1256	
توالی کربن آلیاتیک، شاخه دار شدن و باند دو گانه	0.0001	63	68	67	-0.315	-0.8821	-0.0008	C...(...=...)
	0.0003	63	67	68	-0.135	-0.3218	-0.1937	
	0.0002	62	71	69	-0.3028	-0.4217	-0.4337	

طراحی/پیش‌بینی فعالیت دارو به کمک کامپیوتر به عنوان ابزاری قدرتمند و کارآمد، نقش مهمی در تسريع و بهبود فرایند طراحی و توسعه داروهای ایفا می‌کند و به کاهش زمان و هزینه‌های مربوطه کمک می‌نماید. در این پژوهش، مدل‌های QSAR با هدف پیش‌بینی فعالیت ۲۵۵ ترکیب شیمیایی، به عنوان مهارکننده آنزیم مبدل آنزیوتانسین I در درمان بیماری فشارخون، با استفاده از روش مونت کارلو و بر اساس معیارهای

بحث و نتیجه‌گیری

توسعه/پیش‌بینی فعالیت دارو فرایند پیچیده و پرهزینه‌ای است که هدف آن تولید داروهای این و مؤثر است. این فرایند با چالش‌های فراوانی مواجه است و بسیاری از کاندیداهای دارویی به علت مشکلاتی مانند حلالیت و پایداری، به مرحله تجاری نمی‌رسند. بهینه‌سازی این فرایند برای افزایش شانس موفقیت اهمیت بسیاری دارد.

مقالات پیشین ثابت کردند که معیارهای $r_m^{<2}$ برای توصیف پتانسیل پیش‌بینی مدل‌ها، معتبرتر از معیارهای معمولی مانند R^2 هستند (۳۹). اگر مقدار عددی $m^{>2} < 0.5$ و $m^{<2} > 0.2\Delta$ برای هر دو مجموعه آموزشی و اعتبارسنجی مدل باشد قابل قبول است. مدل‌های QSAR توسعه‌یافته در این پژوهش، همه این معیارها را برآورده می‌کنند اما در کار قبلی معیارهای $r_m^{>2}$ گزارش نشده است. مدل گزارش شده قبلی با استفاده از یک تقسیم توسعه‌یافته، اما در این مطالعه، از ۱۲ تقسیم برای توسعه مدل‌های QSAR با استفاده چهار مجموعه آموزش فعال، آموزش غیرفعال، مجموعه کالیبراسیون و اعتبارسنجی) استفاده شده است. در مطالعه حاضر، ۱۲ مدل با استفاده از چهار تابع هدف TF_0 , TF_1 , TF_2 , TF_3 سه شده است. روش گزارش شده توسط شاه و همکاران مدل‌سازی با استفاده از پیش از یک توصیفگر ساخته شده است، اما در این مطالعه تنها یک توصیفگر، DCW، برای ساخت مدل QSAR استفاده می‌شود. از این‌رو، مدل‌های QSAR فعلی قوی‌تر هستند و قابلیت پیش‌بینی بهتری دارند.

در این مطالعه، ۱۲ مدل QSAR برای پیش‌بینی pIC_{50} تعداد ۲۵۵ ترکیب شیمیایی با اثر مهارکننده‌گی آنزیم مبدل آژنیوتانسین I با استفاده از روش مونت کارلو توسعه داده شد. برای طراحی مدل‌های QSAR از الگوریتم تعادل همبستگی استفاده شد. برای بررسی اهمیت روش آماری مدل‌های ساخته شده چهار تابع هدف، یعنی TF_0 (بدون IIC یا CII)، TF_1 (با IIC به تنهایی)، TF_2 (با CII به تنهایی) و TF_3 (با CII ، به طور همزمان) بکار برده شد. استفاده همزمان از IIC و CII ، به عنوان بهترین مدل QSAR را بهبود بخشید. همه مدل‌های پیشنهادی، پیش‌بینی رضایت‌بخشی را برای تخمین pIC_{50} ارائه کردند، اما بهترین پتانسیل پیش‌بینی شده با TF_3 برای مدل به دست آمده از شکاف ۲ محاسبه شد، بنابراین به عنوان بهترین مدل مشخص شد. برای ارزیابی پایایی و قابلیت پیش‌بینی تمامی مدل‌های ایجاد شده، از شاخص‌های آماری مختلفی مانند R^2 , Q^2 , CCC , IIC , CII , F , $Q2$, $\Delta r_m^{<2}$, $Q_F^{<2}$, $Q_F^{>2}$, MAE_s , $\bar{Q}_F^{<2}$ و $\Delta r_m^{>2}$

شاخص ایدئال همبستگی (IIC) و شاخص شدت همبستگی (CII) ساخته شده و از توصیفگرهای هیریدی بهینه که ترکیبی QSAR و HSG است، در ساخت مدل‌های QSAR توسط نرم‌افزار CORAL استفاده گردیده است.

۱۲ مدل QSAR از ۳ تقسیم با استفاده از چهار تابع هدف (TF_0 , TF_1 و TF_3) ایجاد شد. نتایج آماری مدل‌های QSAR ایجاد شده با هر تابع هدف با یکدیگر مقایسه گردید. مدل‌های ایجاد شده توسط روش‌های الف. اعتبارسنجی متقابل (اعتبارسنجی داخلی / R^2 , $Q_F^{<2}$ و $Q_F^{>2}$ ، ب. اعتبارسنجی خارجی ($Q_F^{<2}$ ، $\Delta r_m^{<2}$, MAE_s , $\bar{Q}_F^{<2}$ و $\Delta r_m^{>2}$) و ج. تصادفی‌سازی داده‌ها ارزیابی شدند که همه مدل‌های ساخته شده قابل اطمینان، پیش‌بینی پذیر و قابل تکرار بودند. مدل‌های طراحی شده با تابع هدف TF_3 پتانسیل پیش‌بینی بهتری نسبت به مدل‌های طراحی شده با سایر توابع هدف داشتند. مدل‌های QSAR پیشنهادی ضربه همبستگی در محدوده $8535-8547/7647-0/0$ برای دسته آزمون قرار داشتند که رضایت‌بخش بود. همه مدل‌ها از نظر آماری رضایت‌بخش و قوی بودند و با معیارهای آماری پیشنهادی موافقت داشتند.

کارایی مدل QSAR توسعه‌یافته در این مطالعه با مدل موجود پیشنهاد شده شاه و همکاران (۳۸) مقایسه گردید. آنان از رویکرد الگوریتم ژنتیک-رگرسیون خطی چند گانه (GA-) (MLR) برای ساخت مدل استفاده کردند و معیارهای آماری $Q2LMO=0.66$, $Q2LOO=0.67-0.73$, $R2=0.70-0.75$ و $CCC=0.70-0.78$ را برای مدل خود گزارش نمودند و بیان کردند، این نتایج نشان‌دهنده یک مدل QSAR با پیش‌بینی بسیار قوی و از نظر آماری معنی‌دار است. مقایسه ویژگی‌های آماری میان مدل‌های QSAR ساخته شده و مدل QSAR پیشین نشان می‌دهد که مدل‌های ساخته شده توسط CORAL نتایج برتری را ارائه می‌دهد. مدل ایجاد شده برای شکاف ۲ توسط تابع هدف TF_3 که معیارهای آماری دارد و کارایی بهتری نسبت به سایر شکاف‌ها داشت؛ بنابراین، به عنوان مدل برتر انتخاب شد.

m^2 و تصادفی سازی داده ها یا درهم آمیختگی ٪ استفاده شد. دامنه کاربرد مدل برای شناسایی نقاط پرت در مدل های QSAR تولید شده استفاده شد. ویژگی های ساختاری به عنوان محرك های افزایش / کاهش pIC_{50} نیز شناسای شدند.

سپاس گزاری

از همه اشخاصی که در این پژوهش همکاری داشتند، تشکر و قدردانی می شود.

تعارض منافع

نویسنده گان اعلام می نمایند که هیچگونه تعارض منافعی وجود ندارد.

کد اخلاق

با توجه به استفاده نکردن از نمونه انسانی - حیوانی، نیاز به تهیه کد اخلاق نبود.

حمایت مالی

این تحقیق هیچ کمک مالی خاصی از سازمان های تأمین مالی در بخش های عمومی، تجاری یا غیر انتفاعی در یافت نکرده است.

مشارکت نویسنده گان

شهرام لطفی: مدیریت پروژه، نگارش پیش نویس اولیه، اعتبار سنجی

شهین احمدی: نگارش بررسی و ویرایش، نرم افزار، تجزیه و تحلیل داده ها

علی عظیمی: نرم افزار، مدل سازی، گردآوری داده ها.

References

- Jao CL, Huang SL, Hsu KU. Angiotensin I-converting enzyme inhibitory peptides: Inhibition mode, bioavailability, and antihypertensive effects. *BioMedicine*. 2012; 2: 130-6. doi: 10.1016/j.biomed.2012.06.005.
- Amaya, J.A.G., et al., In-silico design of new enalapril analogs (ACE inhibitors) using QSAR and molecular docking models. *Inform Med Unlocked*. 2020; 19: 100336. doi:10.1016/j.imu.2020.100336.
- Cushman, D.W., et al., Design of potent competitive inhibitors of angiotensin-converting enzyme. Carboxyalkanoyl and mercaptoalkanoyl amino acids. *Biochemistry*. 1977; 16: 5484-91. doi:10.1021/bi00644a014.
- Lin K, Zhang L, Han X, Meng Z, Zhang J, Wu Y, Cheng D. Novel angiotensin I-converting enzyme inhibitory peptides from protease hydrolysates of Qula casein: Quantitative structure-activity relationship modeling and molecular docking study. *J Agric Food Chem*. 2017; 32: 266-77. doi:10.1016/j.jff.2017.03.008.
- Yılmaz, İ., Angiotensin-converting enzyme inhibitors induce cough. *Turk Thorac J*. 2019; 20: 36-42. doi: 10.5152/TurkThoracJ.2018.18014.
- Vena GA, Cassano N, Coco V, De Simone C. Eczematous reactions due to angiotensin-converting enzyme inhibitors or angiotensin II receptor blockers. *Immunopharmacol Immunotoxicol*. 2013; 35: 447-50. doi: 10.3109/08923973.2013.797992.
- Murray BA, FitzGerald RJ. Angiotensin converting enzyme inhibitory peptides derived from food proteins: biochemistry, bioactivity and production. *Curr Pharm Des*. 2007; 13: 773-91. doi: 10.2174/138161207780363068.
- Wu Q, Cai QF, Tao ZP, et al. Purification and characterization of a novel angiotensin I-converting enzyme inhibitory peptide derived from abalone (*Haliotis discus hannai* Ino) gonads. *Eur Food Res Technol*. 2015; 240: 137-45. doi: 10.1016/j.peptides.2011.11.006.
- Lorenz S, et al. Toward application and implementation of in silico tools and workflows within benign by design approaches. *ACS Sustain Chem Eng*. 2021; 9: 12461-75. doi:10.1021/acssuschemeng.1c03070.
- Zhao P, Peng Y, Xu X, Wang Z, Wu Z, Li W, Tang Y, Liu G. In silico prediction of mitochondrial toxicity of chemicals using machine learning methods. *J Appl Toxicol*. 2021; 41: 1518-26. doi: 10.1002/jat.4141.
- Azimi A, Ahmadi Sh, Kumar A, Qomi M, Almasirad A, et al. SMILES-Based QSAR and Molecular Docking Study of Oseltamivir Derivatives as Influenza Inhibitors. *PACs*. 2022;43: 1-21. doi:10.1080/10406638.2022.2067194.
- Ahmadi S, Ghanbari H, Lotfi S, Azimi N. Predictive QSAR modeling for the antioxidant activity of natural compounds derivatives based on Monte Carlo method. *Mol Divers*. 2021; 25: 87-97. doi:10.1007/s11030-019-10026-9.
- Ahmadi S, Khani R, Moghaddas M. Prediction of anti-cancer activity of 1, 8-naphthyridin derivatives by using of genetic algorithm-stepwise multiple linear regression. *Med Sci*. 2018;28:181-94. doi:10.29252/iau.28.3.181.
- Lotfi S, Ahmadi S, Zohrabi P. QSAR modeling of toxicities of ionic liquids toward *Staphylococcus aureus* using SMILES and graph invariants. *Struct Chem*. 2020; 31: 2257-70. doi: 10.1007/s11224-020-01568-y
- Ahmadi S, Moradi Z, Kumar A, Almasirad A. SMILES-based QSAR and molecular docking study of xanthone derivatives as α -glucosidase inhibitors. *J Recept Signal Transduct Res*. 2021; 42:361-72. 1-12. doi:10.1080/10799893.2021.1957932.
- rabbakar YS, Gupta SP. Structure-Activity relationship study on angiotensin-converting enzyme inhibitors--investigation of hydrophobic interaction in inhibition mechanism. *Indian J Biochem Biophys*. 1985, 22: 318-20.
- Javidfar M, Ahmadi S. QSAR modelling of larvicidal phytocompounds against *Aedes aegypti* using index of ideality of correlation. *SAR QSAR Environ Res*. 2020; 31: 717-39. doi:10.1080/1062936X.2020.1806922.
- Deokar H, Deokar M, Wang W, Zhang R, Buolamwini JK. QSAR studies of new pyrido [3, 4-b] indole derivatives as inhibitors of colon and pancreatic cancer cell proliferation. *Med Chem Res*. 2018; 27: 2466-81. doi: 10.1007/s00044-018-2250-5.
- Lotfi S, Ahmadi S, Kumar P. Correction: Ecotoxicological prediction of organic chemicals toward *Pseudokirchneriella subcapitata* by Monte Carlo approach. *RSC Adv*. 2022; 12: 34567. doi:10.1039/D2RA03936B.
- Toropov AA, Toropova AP, Roncaglioni A, Benfenati E. The system of self-consistent models for pesticide toxicity to *Daphnia magna*. *Toxicol Mech Methods*. 2023;33: 578-83. doi:10.1080/15376516.2023.2197487.
- Toropova AP, Toropov AA, Roncaglioni A, Benfenati E. The index of ideality of correlation improves the predictive potential of models of the antioxidant activity of tripeptides from frog skin (*Litoria rubella*).

- Comput Biol Med. 2021; 133: 104370. doi:10.1016/j.combiomed.2021.104370.
22. Lotfi S, Ahmadi Sh, Kumar P. A hybrid descriptor based QSPR model to predict the thermal decomposition temperature of imidazolium ionic liquids using Monte Carlo approach. J Mol Liq. 2021; 338: 116465. doi:10.1016/j.molliq.2021.116465.
 23. Kumar P, Kumar A. In silico enhancement of azo dye adsorption affinity for cellulose fibre through mechanistic interpretation under guidance of QSPR models using Monte Carlo method with index of ideality correlation. SAR QSAR Environ Res. 2020; 31: 697-715. doi:10.1080/1062936X.2020.1806105.
 24. Toropov AA, Toropova AP, Achary PGR, Raškova M, Raška I. The searching for agents for Alzheimer's disease treatment via the system of self-consistent models. Toxicology Toxicol Mech Methods. 2022; 32: 549-557. doi: 10.1080/15376516.2022.2053918.
 25. Shah S, Chaple D, Masand VH, Zaki MEA, Al-Hussain SA, Shah A, et al. In silico study to recognize novel angiotensin-converting-enzyme-I inhibitors by 2D-QSAR and constraint-based molecular simulations. J Biomol Struct Dyn. 2023; 43:2211-30. doi: 10.1080/07391102.2023.220326.
 26. Duhan M, Sindhu J, Kumar P, Devi M, Singh R, Kumar R, et al. Quantitative structure activity relationship studies of novel hydrazone derivatives as α -amylase inhibitors with index of ideality of correlation. J Biomol Struct Dyn. 2020; 40: 4933-53. doi: 10.1080/07391102.2020.1863861.
 27. Achary PGR, Toropova AP, Toropov AA. Combinations of graph invariants and attributes of simplified molecular input-line entry system (SMILES) to build up models for sweetness. Food Res Int. 2019; 122: 40-46. doi:10.1016/j.foodres.2019.03.067.
 28. Roy PP, Roy K. QSAR studies of CYP2D6 inhibitor aryloxypropanolamines using 2D and 3D descriptors. Chem Biol Drug Des. 2009; 73: 442-55. doi: 10.1111/j.1747-0285.2009.00791.x.
 29. Lotfi S, Ahmadi S, Kumar P. The Monte Carlo approach to model and predict the melting point of imidazolium ionic liquids using hybrid optimal descriptors. RSC Adv. 2021; 11: 33849-57. doi:10.1039/D1RA06861J.
 30. Ahmadi S, Ketabi S, Qomi M. CO₂ uptake prediction of metal-organic frameworks using quasi-SMILES and Monte Carlo optimization. New J Chem. 2022; 46: 8827-37. doi:10.1039/D2NJ00596D.
 31. Kumar P, Kumar A. CORAL: QSAR models of CB1 cannabinoid receptor inhibitors based on local and global SMILES attributes with the index of ideality of correlation and the correlation contradiction index. Chemometr Intell Lab Sys. 2020; 200: 103982. doi:10.1016/j.chemolab.2020.103982.
 32. Toropova AP, Toropov AA, Veselinović AM, Veselinović JB, Benfenati E, Leszczynska D, et al. Nano-QSAR: Model of mutagenicity of fullerene as a mathematical function of different conditions. Ecotoxicol Environ Saf. 2016; 124: 32-36. doi:10.1016/j.ecoenv.2015.09.038.
 33. Tabti K, et al. HQSAR, CoMFA, CoMSIA docking studies and simulation MD on quinazolines/quinolines derivatives for DENV virus inhibitory activity. Chem Afr. 2022; 5: 1937-58. doi:10.1007/s42250-022-00484-4.
 34. Chirico N, Gramatica P. Real external predictivity of QSAR models. Part 2. New intercomparable thresholds for different validation criteria and the need for scatter plot inspection. J Chem Inf Model. 2012; 52: 2044-58. doi:10.1021/ci300084j.
 35. Rücker C, Rücker G, Meringer M. Y-randomization—a useful tool in QSAR validation, or folklore. J Chem Inf Model. 2007; 47: 2345-57. doi:10.1021/ci700157b.
 36. Yordanova D, W. Schultz T, Kuseva C, Tankova K, Ivanova H. Automated and standardized workflows in the OECD QSAR Toolbox. ComputToxicol. 2019; 10: 89-104. doi:10.1016/j.comtox.2019.01.006.
 37. Gatidou G, Vazaiou N, Thomaidis NS, Stasinakis AS. Biodegradability assessment of food additives using OECD 301F respirometric test. Chemosphere. 2020; 241: 125071. doi:10.1016/j.chemosphere.2019.125071.
 38. Shah S, Chaple D, Masand VH, Zaki MEA, Al-Hussain SA, Shah A. In silico study to recognize novel angiotensin-converting-enzyme-I inhibitors by 2D-QSAR and constraint-based molecular simulations. J Biomol Struct Dyn. 2024; 42: 2211-30. doi: 10.1080/07391102.2023.220326.
 39. Roy K, Chakraborty P, Mitra I, Ojha PK, Kar S, Das RN. Some case studies on application of “rm2” metrics for judging quality of quantitative structure-activity relationship predictions: emphasis on scaling of response data. J Comput Chem. 2013; 34: 1071-82. doi.org/10.1002/jcc.23231.